

A. A. Морозов, Л. В. Христенко, Ю. А. Пентин, С. В. Краснощеков,  
Е. А. Чернышев, Т. Л. Краснова

## КОЛЕБАТЕЛЬНЫЕ СПЕКТРЫ И РАСЧЕТ НОРМАЛЬНЫХ КОЛЕБАНИЙ 1,3-ДИМЕТИЛ-1,1,3,3-ТЕТРАХЛОРДИСИЛОКСАНА

Колебательные спектры 1,3-диметил-1,1,3,3-тетрахлордисилоксана (ДМТХДС) были получены в работе [1], где проведена идентификация полос  $\nu(\text{SiO})_s$  и  $\nu(\text{SiO})_{as}$ . Расчет частот и форм нормальных колебаний не проводился.

Нами получены ИК спектры ДМТХДС в газообразном, жидким и кристаллическом состояниях и спектры КР в жидком и кристаллическом состояниях (рис. 1). Для более надежной интерпретации колебательных спектров проведен расчет частот и форм нормальных колебаний этой молекулы. Из-за отсутствия данных по геометрии исследуемой молекулы использовались данные по гексахлордисилоксану (ГХДС) и гексаметилдисилоксану (ГМДС) из работ [2, 3]. Взяты следующие параметры:  $R_{\text{SiO}} = 1,60 \text{ \AA}$ ;  $R_{\text{SiC}} = 1,88 \text{ \AA}$ ;  $R_{\text{SiCl}} = 2,01 \text{ \AA}$ ;  $R_{\text{CH}} = 1,09 \text{ \AA}$ , угол  $\text{SiOSi} = 146^\circ$ . Углы при атомах Si принимались тетраэдрическими. В ДМТХДС возможно заторможенное внутреннее вращение вокруг связей Si—O, в результате чего эта молекула может существовать в виде нескольких конформеров симметрии  $C_1$ ,  $C_s$ ,  $C_2$ ,  $C_{2v}$ . При этом принимается, что одна из связей SiCl или SiC групп  $\text{CH}_3\text{Cl}_2\text{Si}$  лежит в плоскости  $\text{SiOSi}$  в трансположении по отношению к связи SiO (рис. 2), хотя в работе [2] был сделан вывод о некотором отклонении от плоского строения трансцепочки в ГХДС. Мы провели расчет для всех 4 конформеров с использованием одной и той же матрицы силовых постоянных, которая составлялась с использованием данных по силовым полям, полученным в работе [4], для ГХДС и ГМДС. Дополнительного уточнения силового поля не проводилось. Результаты расчета приведены в таблице.

Расчет позволил провести отнесение экспериментальных частот по рассчитанным формам колебаний. Не вызывает сомнений отнесение частот 2990 и  $2918 \text{ см}^{-1}$  к валентным колебаниям  $\nu(\text{CH})_{as}$  и  $\nu(\text{CH})_s$  соответственно, а частот 1405 и  $1270 \text{ см}^{-1}$  — к деформационным колебаниям  $\delta(\text{CH}_3)_{as}$  и  $\delta(\text{CH}_3)_s$ . Полосы поглощения в области  $760 - 850 \text{ см}^{-1}$  отнесены к  $\rho(\text{CH}_3)$ , причем колебание с частотой около  $800 \text{ см}^{-1}$  очень сильно смешано с  $\nu(\text{SiO})_s$ . Антисимметричное колебание  $\nu(\text{SiO})_{as}$  проявляется в спектре в виде сильной, широкой полосы, положение которой несколько меняется при переходе от жидкости к кристаллу ( $1095 \text{ см}^{-1}$  в жидкости,  $1145 \text{ см}^{-1}$  в кристалле), что может быть связано с увеличением угла  $\text{SiOSi}$  в кристалле по сравнению с жидкостью [5–7]. К колебанию  $\nu(\text{SiO})_s$  можно отнести две частоты: 680 и  $645 \text{ см}^{-1}$ . Первая проявляется только в ИК спектре в виде очень слабой полосы, которая, скорее всего, является либо составной частотой, либо обертоном, поэтому представляется более разумным отнести к  $\nu(\text{SiO})_s$  слабую в ИК и КР спектрах полосу  $645 \text{ см}^{-1}$ . В спектре КР она частично поляризована. К валентному колебанию  $\nu(\text{SiC})$  отнесена слабая, деполяризованная в спектре КР полоса  $755 \text{ см}^{-1}$ . Не вызывало значительных осложнений и отнесение валентных колебаний групп  $\text{SiCl}_2$ , частоты колебаний которых приведены в таблице. Значительно сложнее обстоит дело с отнесением деформационных колебаний фрагмента  $\text{CH}_3\text{Cl}_2\text{Si}$ . Эти колебания очень сильно смешаны между собой и какие-то определенные отнесения можно сделать только условно (таблица).

Сравнение ИК спектров и спектров КР различных агрегатных состояний ДМТХДС показывает, что в области скелетных и деформационных колебаний волчка  $\text{CH}_3\text{Cl}_2\text{Si}$  наблюдаются значительные изменения.

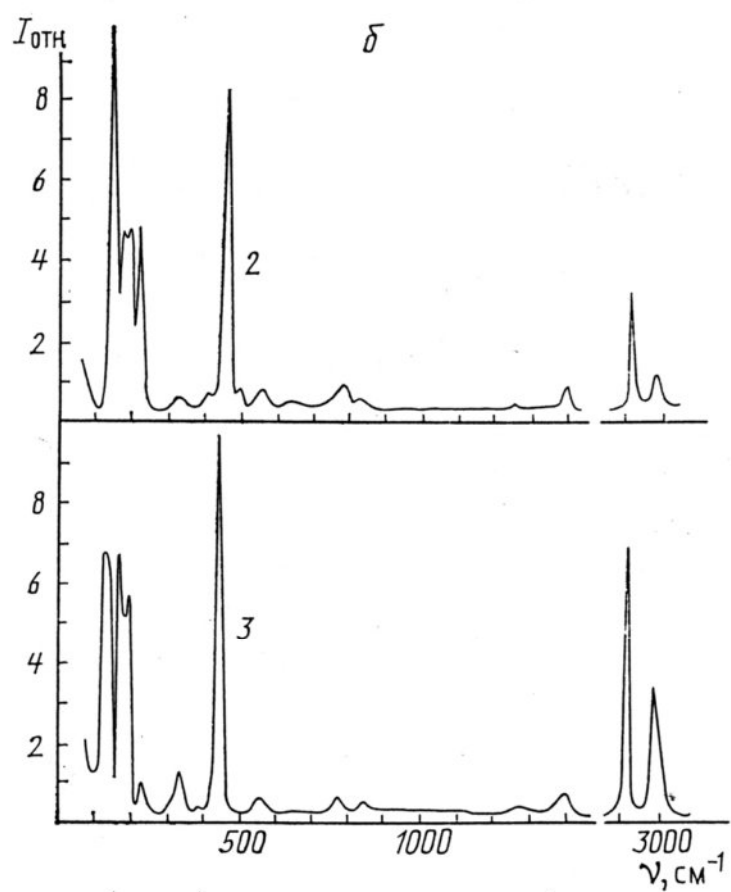
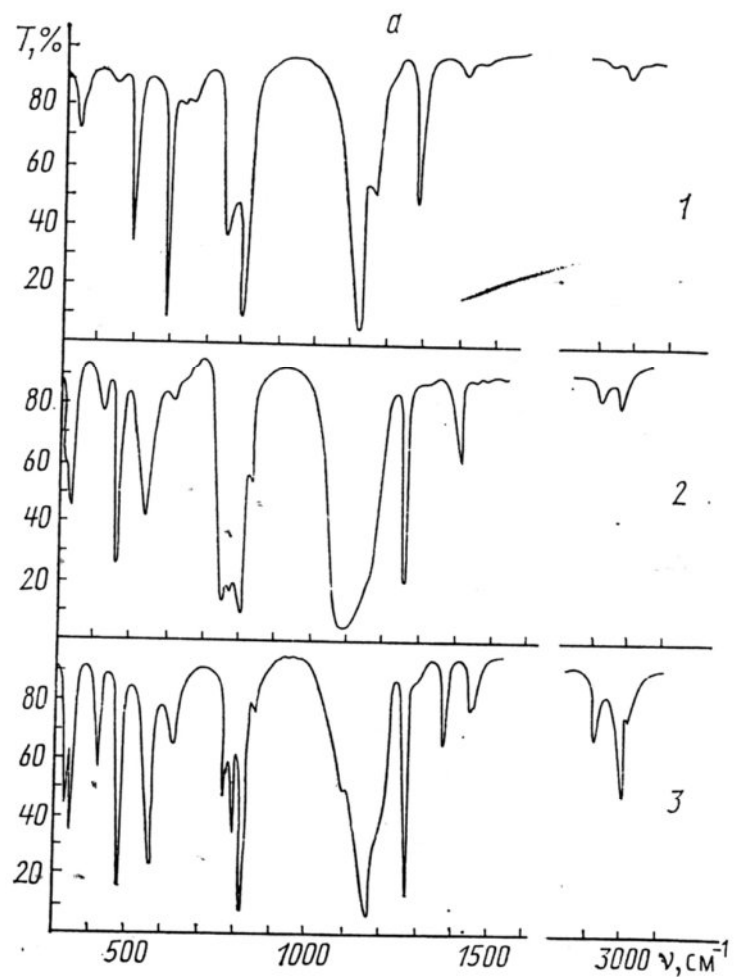


Рис. 1. ИК спектры (*а*) и спектры КР (*б*) ДМТХС: 1 — газ,  
2 — жидкость, 3 — кристалл

**Вычисленные и экспериментальные значения частот колебаний молекулы  $(\text{CH}_3\text{Cl}_2\text{Si})_2\text{O}$**

КР		Эксперимент		Расчет		
жидк.	крист.	газ	жидк.	крист.	Конформер, частота ( $\text{см}^{-1}$ ) <sup>1</sup> , РПЭ <sup>2</sup>	
2985 ср. $d\rho$	2982 ср. 2912 с.	2990 сл. 2915 сл. 1440 о. сл. 1410 о. сл. 1275 с. 1195 о. сл. 1155 пл. 1110 о. с. 835 сл.	2990 сл. 2918 сл. 1450 о. сл. 1405 сл. 1270 с. 1095 о. с. 835 пл. 800 с. 771 сл.	2980 ср. 2915 сл. 1445 сл. 1390 сл. 1265 о. с. 1145 о. с. 828 сл. 800 о. с. 775 сл. 760 пл. 750 ср.	1—4 5,6 7—10  11,12  13 14 15 16 17 18 19  20 21 22 23 24	2969 СН 2923 СН 1430 НСН  1272 НСН  1118 SiO 787 SiCH 760 SiCH 760 SiCH 754 SiC 725 SiC 705 SiC  683 SiO 618 SiCl 607 SiCl 493 SiCl C <sub>1</sub> 458 SiCl  v (C <sub>2</sub> H) <sub>as</sub> v (CH) <sub>s</sub> δ (CH <sub>3</sub> ) <sub>as</sub> δ (CH <sub>3</sub> ) <sub>s</sub> δ (CH <sub>3</sub> ) <sub>s</sub> Составная v (SiO) <sub>as</sub> ρ (CH <sub>3</sub> ) <sub>s</sub> ρ (CH <sub>3</sub> ) <sub>s</sub> ρ (CH <sub>3</sub> ) <sub>s</sub> ρ (CH <sub>3</sub> ) <sub>s</sub> v (SiC) <sub>s</sub> v (SiC)
2918 с. $\rho$	1406 сл. $d\rho$ 1270 о. сл. $\rho$	1410 о. сл. 1275 с. 1195 о. сл. 1155 пл. 1110 о. с. 832 сл. 773 сл. $pp$	1405 сл. 1270 с. 1095 о. с. 835 пл. 800 с. 775 сл. 760 пл. 750 ср.	1445 о. сл. 1390 сл. 1265 о. с. 1145 о. с. 828 сл. 790 о. с. 768 ср. 760 пл. 754 о. сл.	2980 ср. 2915 сл. 1445 сл. 1390 сл. 1265 о. с. 1145 о. с. 828 сл. 790 о. с. 768 ср. 760 пл. 754 о. сл.	2969 СН 2923 СН 1430 НСН  1272 НСН  1118 SiO 787 SiCH 760 SiCH 760 SiCH 754 SiC 725 SiC 705 SiC  683 SiO 618 SiCl 607 SiCl 493 SiCl C <sub>1</sub> 458 SiCl  v (C <sub>2</sub> H) <sub>as</sub> v (CH) <sub>s</sub> δ (CH <sub>3</sub> ) <sub>as</sub> δ (CH <sub>3</sub> ) <sub>s</sub> δ (CH <sub>3</sub> ) <sub>s</sub> Составная v (SiO) <sub>as</sub> ρ (CH <sub>3</sub> ) <sub>s</sub> ρ (CH <sub>3</sub> ) <sub>s</sub> ρ (CH <sub>3</sub> ) <sub>s</sub> ρ (CH <sub>3</sub> ) <sub>s</sub> v (SiC) <sub>s</sub> v (SiC)
644 о. сл. $d\rho$	562 сл. $d\rho$ 489 о. сл. 448 о. с. $\rho$	682 о. сл. 645 о. сл. 615 о. сл. 580 с. 490 ср. 430 о. с.	680 о. сл. 645 о. сл. 615 о. сл. 570 с. 499 ср. 450 сл.	682 о. сл. 645 о. сл. 625 сл. 555 с. 479 с. 445 ср. сл.	682 о. сл. 645 о. сл. 625 сл. 555 с. 479 с. 425 сл.	683 SiO 618 SiCl 607 SiCl 493 SiCl C <sub>1</sub> 458 SiCl  v (SiO) <sub>s</sub> v (SiCl <sub>2</sub> ) <sub>as</sub> v (SiCl <sub>2</sub> ) <sub>as</sub> v (SiCl <sub>2</sub> ) <sub>s</sub> v (SiCl <sub>2</sub> ) <sub>s</sub> v (SiCl <sub>2</sub> ) <sub>s</sub>

400 о. сл.	405 пл.		$C_2^v$ 458 C1SiO $C_s$ 394 C1SiO $C_2^v$ 431 SiCl $C_s$ 322 CSiO $C_2^v$ 380 C1SiO	$\delta$ (C1SiO) $\delta$ (C1SiO) $\delta$ (C1SiO)
340 сл. $d\rho$	325	340 сл.	25	$C_2$ 472 SiCl $C_1$ 402 C1SiO $C_2$ 372 C1SiO $C_1$ 363 C1SiO $C_2$ 343 C1SiO
232 сл. $d\rho$	238	340 сл.	26	$C_1$ 247 $\tau$ CH <sub>3</sub> $C_2$ 242 C1SiO $C_2^v$ 253 CSiO
196 сл. $d\rho$	200 187	326} ср. с. 319}	27	$C_1$ 240 $\tau$ CH <sub>3</sub> $C_2$ 234 C1SiO $C_2^v$ 225 $\tau$ CH <sub>3</sub> $C_s$ 230 $\tau$ CH <sub>3</sub> $C_2^v$ 222 C1SiO
176 сл. $d\rho$	145	144	28	$C_1$ 241 CSiO $C_2$ 241 CSiC $C_1$ 219 $\tau$ CH <sub>3</sub> $C_2$ 222 $\tau$ CH <sub>3</sub> $C_2^v$ 220 CSiC
145 о. с. $d\rho$			29	$C_1$ 212 C1SiCl $C_2$ 214 C1SiCl $C_2^v$ 218 C1SiC
			30	$C_1$ 219 $\tau$ CH <sub>3</sub> $C_2$ 222 $\tau$ CH <sub>3</sub> $C_2^v$ 222 C1SiC
			31	$C_1$ 219 C1SiC $C_2$ 214 C1SiCl $C_2^v$ 218 C1SiC
			32	$C_1$ 212 C1SiCl $C_2$ 214 C1SiCl $C_2^v$ 218 C1SiC
			33	$C_1$ 174 C1SiO $C_2$ 176 C1SiO
			34	$C_1$ 174 C1SiO $C_2$ 176 C1SiO
			35	$C_1$ 151 C1SiO $C_2$ 139 C1SiO
			36	$C_1$ 139 C1SiO $C_2$ 133 C1SiC
			37	$C_1$ 143 C1SiO $C_2^v$ 146 C1SiO
			38	$\delta$ (SiOSi) $\tau$ (SiO) <sub>s</sub> $\tau$ (SiO) <sub>as</sub>
			39	$\tau$ (SiO) <sub>s</sub>

<sup>1</sup> Частоты, различающиеся по расчету для разных конформеров не более чем на  $\pm 5 \text{ см}^{-1}$  при максимальном значении РПЭ для одной и той же внутренней координаты, приводятся только один раз без указания конформера.

<sup>2</sup> Указывается координата с максимальным значением РПЭ.

Так, полоса  $232 \text{ см}^{-1}$ , сильная в спектре КР жидкости, становится слабой в спектре КР кристалла. Сложная полоса  $340 \text{ см}^{-1}$ , имеющая плечо с низкочастотной стороны в спектре КР жидкости, имеет симметричный контур с максимумом при  $325 \text{ см}^{-1}$  в кристалле. В ИК спектре кристалла вместо полосы  $340 \text{ см}^{-1}$  наблюдается дублет  $325$  и  $319 \text{ см}^{-1}$ . В спектре кристалла по сравнению с жидкостью значительно уменьшается интенсивность линии  $145 \text{ см}^{-1}$ , сдвигаются в низкочастотную сторону полосы, связанные с валентными колебаниями  $\nu(\text{SiCl}_2)$ . Все эти изменения, включая и сдвиг полосы валентного колебания  $\nu(\text{SiO})_{as}$ , вряд ли можно

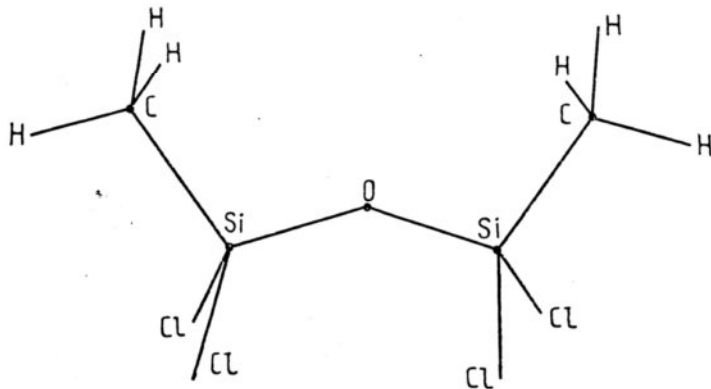


Рис. 2: Конформер ДМТХДС симметрии  $C_{2v}$

объяснить только увеличением валентного угла  $\text{SiOSi}$ . По-видимому, указанные изменения связаны с изменением конформационного состава.

Помимо исследования колебательных спектров в различных фазовых состояниях изучалась температурная зависимость спектров в пределах одной фазы. Исследования проводились в температурных диапазонах:  $100$ — $20^\circ\text{C}$  для газа (ИК),  $20$ — $-20^\circ\text{C}$  для жидкости,  $-25$ — $-140^\circ\text{C}$  для кристалла (КР) и до  $-190^\circ\text{C}$  (ИК). Существенных изменений в спектрах при этом обнаружено не было.

Деформационные колебания наиболее чувствительны к поворотной изомерии. Расчет показал, что наблюдается это и в случае молекулы ДМТХДС. При этом колебания, имеющие близкие формы, могут различаться по частотам, в то же время колебания различных форм разных конформеров могут иметь близкие частоты, поэтому при сравнении спектров различных агрегатных состояний нельзя однозначно судить об изменении конформационного состава ДМТХДС, даже если оно и имеет место.

### Summary

The IR spectra of 1,3-dimethyl-1, 1, 3, 3-tetrachlorodisiloxane in gaseous, liquid and crystalline states are obtained and the Raman spectra of this compound in liquid and crystalline states are measured. The complete vibrational assignment of this molecule is carried out by the normal coordinate analysis. No temperature dependence of the vibrational spectra in gaseous, liquid and crystalline states is observed.

### Литература

1. Noll W.—Angew. Chem., 1963, B. 75, N 1, S. 123—130.
2. Airey W., Glidewell C., Robiette A. G., Heldrick G. H.—J. Mol. Structure, 1971, v. 8, N 4, p. 413—422.
3. Csakvari B., Wagner Zs., Gömöry P. e.a.—J. Organometal. Chem., 1976, v. 107, N 2, p. 287—296.
4. Лазарев А. Н., Тенишева Т. Ф., Игнатьев И. С. Колебания простых молекул со связями  $\text{Si}-\text{O}$ .—Л.: Наука, 1980.—158 с.
5. Kriegsman H.—Zs. anorg. allg. Chem., 1959, B. 298, N 2, S. 223—231.
6. Лазарев А. Н., Тенишева Т. Ф., Давыдова В. П.—Докл. АН СССР, 1967, т. 173, № 1, с. 120—122.
7. Волкова Л. М., Чумаевский Н. А.—Докл. АН СССР, 1967, т. 173, с. 598—601.

Поступило в редакцию 16.02.83.